

Если этот пик вызван резонансом в системе  $\Lambda p$ , то масса его равна  $M_{\Lambda p} = (2573 \pm 8) M_e$ , а полная ширина — около  $80 M_e$ .

На рис.2 приведено распределение по эффективным массам системы  $\Lambda p$  в событиях, удовлетворяющих законам сохранения электрического и барионного зарядов, но не удовлетворяющих кинематике образования на свободных протонах. В области масс  $(2053 \pm 2093) M_e$  наблюдается резко выраженный пик с максимумом при  $(2062 \pm 9) M_e$ . Этот результат согласуется с результатом работы [7]. В области масс, больших  $2093 M_e$ , наблюдается "плечо", которое, по-видимому, можно ассоциировать с пиком, найденным в [8].

На рис.3 приведен спектр масс системы  $\Lambda p$  из событий с видимым развалом ядра углерода. В области масс  $(2213 \pm 2253) M_e$  виден пик с максимумом при  $2220 M_e$  и шириной, меньше  $40 M_e$ , отстоящий на более чем два стандартных отклонения от соседних интервалов. Это значение массы согласуется со значением, приведенным в [8].

В спектре масс системы  $pp$  из трех- и пятилучевых событий без странных частиц особенностей в нашем эксперименте не обнаружено.

Авторы выражают благодарность академику В.И.Бекслеру за интерес к работе, проф. Чжан Вэнь-Юй, Цзянь Шао-Цюю, Ду Юань-Цаю, Янь-У Гуану за участие в работе, в ее начальной стадии, группе эксплуатации ПК-4, группе просмотра камерных снимков, лаборантам М.И.Филипповой, А.А.Тимониной, В.П.Соломахиной, В.Д.Кульковой, А.М.Сосульниковой, М.И.Чикваревой, С.Желевой, И.Г.Кондратьевой, А.И.Родионову за программирование и расчеты, группе программистов ВЦ ОИЯИ за создание ряда необходимых программ.

Объединенный институт  
ядерных исследований  
лаборатория высоких энергий

Поступило в редакцию  
11 февраля 1967 г.

## Литература

- [1] Ван Ган-чан и др. ПТЭ, 1, 41, 1959.
- [2] Ю.Д.Зернин и др. Препринт ОИЯИ, Р-2424, Дубна, 1965.
- [3] О.В.Благонравова и др. Препринт ОИЯИ, Р-1959, Дубна, 1965;
- А.Ф.Лукьянцев и др. Препринт ОИЯИ, Р-1982, Дубна, 1965; З.М.Иванченко и др. Препринт ОИЯИ, 2005, Дубна, 1965.
- [4] В.Ф.Вишневский и др. Препринт ОИЯИ, Р-1489, Дубна, 1964; Б.А.Шахбазян. Вопросы физики элементарных частиц, Ереван, 1964; В.Ф.Вишневский и др. Препринт ОИЯИ, Р-2215, Дубна, 1965.
- [5] Р.М.Джабар-заде и др. Препринт ОИЯИ, 1957, Дубна, 1965.
- [6] З.М.Иванченко и др. Препринт ОИЯИ, Р-2399, Дубна, 1965.
- [7] А.С.Melissinos et al. Phys.Rev. Lett., 14, 614, 1965.
- [8] T.Buran et al. Phys. Lett., 20, 318, 1966.

## ВЛИЯНИЕ ДИСПЕРСИОННЫХ ЭФФЕКТОВ НА СТРУКТУРУ УДАРНОЙ ВОЛНЫ В ЗАМАГНИЧЕННОЙ ПЛАЗМЕ

В.Г.Еселеевич, Р.Х.Куртмуллаев, В.И.Пильский

Важным проявлением дисперсионных свойств замагниченной плазмы являются ударные волны с осцилляторным профилем. Решения, полученные в теории, зависят от наклона фронта к магнитному полю [1]. При углах  $\theta \ll \sqrt{m_e/m_i}$  ("прямая волна" [1]) осцилляции имеют "длину"  $\delta \sim c/\omega_0$  и отстают от основного скачка во фронте; при  $\theta \gg \sqrt{m_e/m_i}$  ("косая волна" [1,2]) осцилляции опережают скачок; ( $\delta \sim \theta(c/\Omega_0)$ ;  $m_i$  — масса электрона, иона;  $\omega_0$ ,  $\Omega_0$  — плазменная частота электрона, иона;  $c$  — скорость света). Профиль и характерные размеры плазменных возмущений, наблюдавшихся в [3-5], позволили отождествить их с

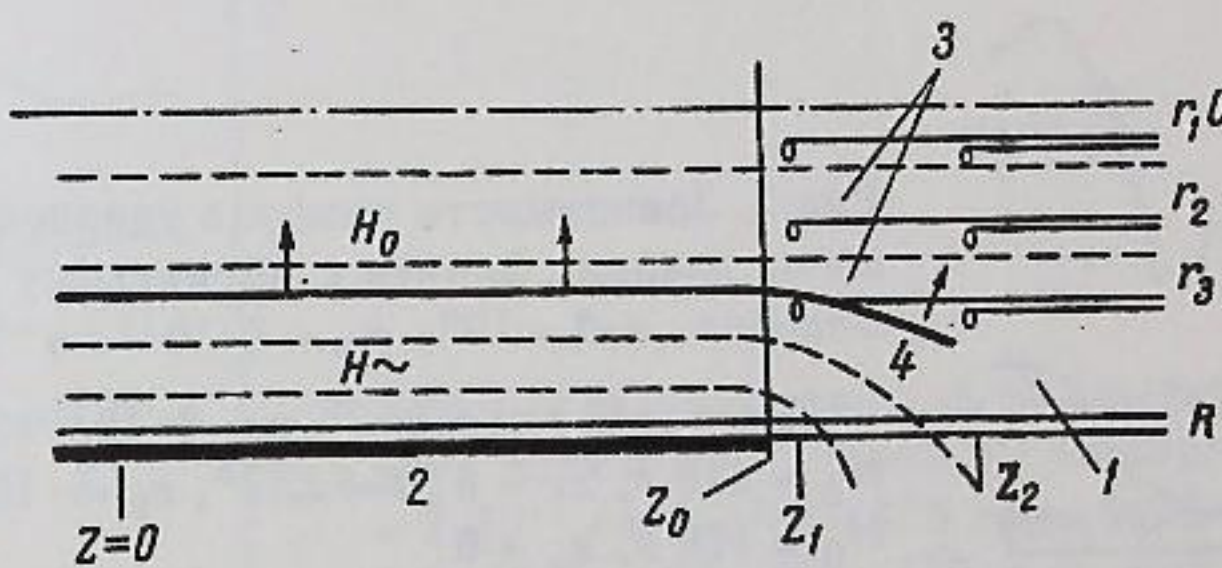


Рис.1. Схема возбуждения и регистрации ударных волн. 1 — вакуумный объем (стеклянная трубка,  $R = 8 \text{ см}$ ); 2 — ударный виток (разрез), возбуждающий поле  $H \sim (z=0)$  — среднее сечение,  $z_0 = 15 \text{ см}$  — край витка; 3 — магнитные зонды ( $r_1 = 0,5 \text{ см}$ ,  $r_2 = 2,9 \text{ см}$ ,  $r_3 = 5,3 \text{ см}$ ;  $\Delta t = z_2 - z_1 = 5 \text{ см}$ ); 4 — фронт волны;  $H_0 = 0 \div 2 \text{ кз}$ ,  $H_\infty^0 = 1 \div 5 \text{ кз}$

косой [3] и прямой [4,5] ударными волнами. Однако в этих и подобных [6] экспериментах не измерялся непосредственно угол наклона  $\theta$  и не исследовалась его роль в волновых процессах. Такие опыты излагаются в настоящей работе. Для косой квазистационарной волны было проведено корректное сравнение  $\delta$  с теоретическим значением, тогда как ранее [3,6] использовались довольно произвольные оценки  $\theta$  из геометрии опыта. Регистрация  $\theta$  позволила исследовать дисперсионные эффекты и структуру волн при значениях угла  $\theta \geq \sqrt{m_e/m_i}$ ,  $\theta \lesssim \sqrt{m_e/m_i}$ , для которых отсутствует аналитическое описание явления. Влияние дисперсии изучалось в условиях ламинарной и турбулентной плазмы.

Эксперименты проводились на установке УН-4 [4, 5]. Плазма, помещенная в квазистационарное магнитное поле  $H_0$ , подвергалась быстро-

му ( $\Delta t \sim 50 \div 300$  нсек) сжатию переменным полем  $H_{\sim}$ , приложенным к ее границе (рис.1). Пространственно-временное развитие возмущений регистрировалось с помощью системы из шести магнитных зондов. По запаздыванию сигналов между ближайшими зондами, разнесенными по радиусу ( $r_r$ ) и параллельно оси ( $r_z$ ), находятся значения радиальной и продольной компонент скорости,  $u_r(rz) = \Delta r / r_r$ ,  $u_z(rz) = \Delta z / r_z$ , и угол наклона фронта  $\sin \theta(rz) = u_r(rz) / u_z(rz) = (\Delta r / \Delta z)(r_z / r_r)$ , усредненные по интервалам  $\Delta r$ ,  $\Delta z$ .

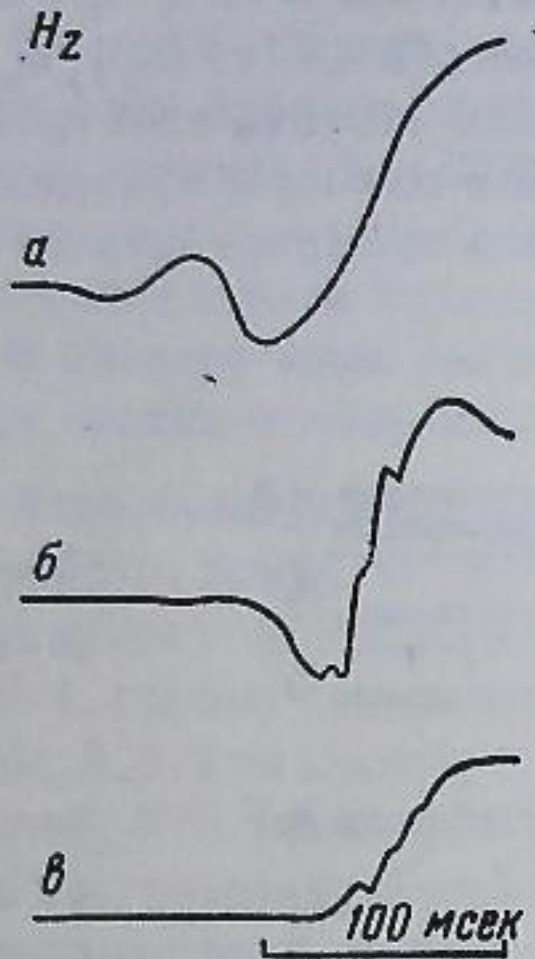


Рис.2. Зависимость профиля ударной волны от наклона фронта к магнитному полю. Водород.  $a - \theta = 10^\circ$ ,  $n_0 \approx 2 \cdot 10^{13} \text{ см}^{-3}$ ,  $H_0 = 110 \text{ э}, z_1 = 15 \text{ см}; b - \theta = 7^\circ$ ,  $n_0 = 3 \cdot 10^{12} \text{ см}^{-3}$ ,  $H_0 = 110 \text{ э}, z_1 = 0$ ;  $c - \theta \leq 2^\circ$ ,  $n_0 = 5 \cdot 10^{11} \text{ см}^{-3}$ ,  $H_0 = 170 \text{ э}, z_1 = 0$

Наблюдения показали, что перекос фронта задается начальной конфигурацией скинирующего слоя плазмы, играющего роль поршня. При достаточной однородности плазмы искривление поршня возникает из-за неоднородности давления  $H^2 \sim (z) / 8\pi$  у края ударного витка (рис.1). В этой области ( $10^\circ \leq \theta \leq 30^\circ$ ) процесс имеет следующие характерные особенности. Если начальное возмущение достаточно укрученено, от него отщепляется "волна разрежения". При непрерывном давлении поршня перед скачком нарастает шлейф знакопеременных осцилляций, фазовая скорость которых увеличивается с уменьшением длины волны (в аргоновой плазме она могла достигать значений, превышающих  $10 v_A$ , где  $v_A = H_0 / \sqrt{4\pi n_0 m_i}$  – альфеновская скорость).

В определенных условиях ( $c\sqrt{m_e} / \sqrt{4\pi n_0 e^2} \theta \ll R$ ,  $\Delta t \ll (R\sqrt{4\pi n_0 m_i} / H_0)$ ) устанавливается квазистационарная фаза, когда скорость переноса внутри шлейфа становится практически постоянной, а размер последней осцилляции хорошо соответствует значению  $\theta (c/\Omega_0)$  (рис.2, a). Компонента  $H_\phi$  ( $\perp H_0$ , и; рис.3, a) примерно одинакова по амплитуде с  $H_z$  (рис.2, a) и сдвинута относительно нее по фазе на  $\pi/2$ . Все указанные закономерности согласуются с теорией для  $\theta \gg \sqrt{m_e/m_i}$  [1,2].

Внутри ударного витка перекос поршня невелик ( $\theta \sim 0 \div 10^\circ$ ) и возникает из-за неоднородности плазмы. С уменьшением  $\theta$  убывают число и

амплитуда опережающих осцилляций, а в области скачка и за ним нарастают колебания с  $\delta \sim c/\omega_0$  (рис.2, б). Это указывает на одновременное проявление противоположных дисперсионных эффектов, не компенсирующих друг друга, которые формируют профиль в виде гибрида косой и прямой волн.

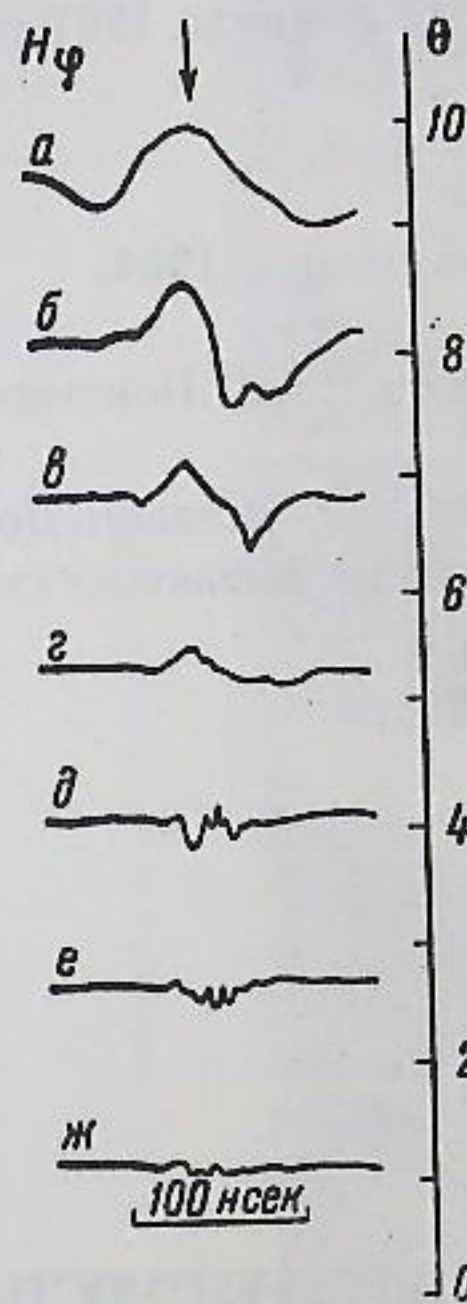


Рис.3. Трансформация  $\phi$ -ой компоненты магнитного поля с изменением  $\theta$ . Водород.  $a - n_0 = 2 \cdot 10^{13} \text{ см}^{-3}$ ,  $H_0 = 110 \text{ э}, z_1 = 15 \text{ см}; b, c - n_0 = 3 \cdot 10^{12} \text{ см}^{-3}$ ,  $H_0 = 110 \text{ э}, z_1 = 0$ ;  $d, e, f - n_0 = 5 \cdot 10^{11} \div 10^{12} \text{ см}^{-3}$ ,  $H_0 = 110 \div 170 \text{ э}, z_1 = 0$ . Стрелкой указана область основного скачка  $H_z$

При углах  $\theta \leq 2\sqrt{m_e/m_i}$  (т.е. ранее, чем при  $\theta \ll \sqrt{m_e/m_i}$ ) преобладает дисперсия, обусловленная инерцией электронов, на что указывает отстающий осцилляторный шлейф и  $\delta \sim c/\omega_0$  [1] (рис.2, б). Отличие от стационарного вида прямой волны связано с кумуляцией [5].

Изложенные результаты согласуются с численным решением, полученным в [7], если в качестве общего параметра брать  $\theta / \sqrt{m_e/m_i}$ .

Регистрация  $H_\phi$  позволяет более четко установить механизм, формирующий ширину скачка при малых углах. Оказалось, что уже после исчезновения опережающих осцилляций остается вклад дисперсии с  $\delta \sim \theta (c/\Omega_0)$ , о чем свидетельствуют возмущения  $H_\phi$ , локализованные в области основного скачка (рис.3, б, в). В "прямой" волне преобладают отстающие В.Ч. колебания  $H_\phi$  с  $\delta \sim c/\omega_0$ ;  $\theta \rightarrow 0$   $H_\phi \rightarrow 0$  (рис.3, д, е, ж).

Развитие мелкомасштабных неустойчивостей при  $n_0 \sim 10^{13} \text{ см}^{-3}$  "замазывает" осцилляции с  $\delta \sim c/\omega_0$ , однако эффективная глубина скинирования  $\delta_s \sim 10 (c/\omega_0)$  [4] не препятствует формированию "косых" осцилляций, так как  $(c/\Omega_0)/\theta / \delta_s \geq 1$  уже при  $\theta \gtrsim 10\sqrt{m_e/m_i}$ . В таком режиме при  $\theta \rightarrow 0$  мы наблюдали переход к апериодическому профилю (турбулентность плазмы фиксировалась независимо по шумовому излучению и рассеянию внешнего пучка электромагнитных волн). Действие джоу-

левой диссипации, сравнимое с эффектом дисперсии ( $\theta \gg \sqrt{m_e/m_i}$ ), обнаруживалось лишь при очень низких степенях ионизации ( $p_0 \sim 10^{-2} \div 10^{-1} \text{ мм рт.ст.}$ ,  $n_0 \sim 10^{13} \text{ см}^{-3}$ ).

Авторы глубоко признательны Р.З.Сагдееву, Ю.Е.Нестерихину, В.И.Карпману, А.А.Галееву за помощь и обсуждения работы.

Поступило в редакцию  
14 февраля 1967 г.

### Литература

- [1] Р.З.Сагдеев. Вопросы теории плазмы, 4, 20, Атомиздат, 1964.
- [2] В.И.Карпман. ЖТФ, 38, 959, 1963.
- [3] А.М.Искольдский, Р.Х.Куртмullaев, Ю.Е.Нестерихин, А.Г.Пономаренко. ЖЭТФ, 47, 774, 1964.
- [4] Р.Х.Куртмullaев, Ю.Е.Нестерихин, В.И.Пильский, Р.З.Сагдеев. Доклад СН-21/218 на II Международной конференции по физике плазмы, Калхэм, 1965. Conferens Proceedings, v. II, 367.
- [5] Р.Х.Куртмullaев. Диссертация, Новосибирск, 1965.
- [6] M.Mortone. Phys. Lett., 22, 73, 1966.
- [7] K.W.Morton. Phys. Fluids, 7, 1800, 1964.

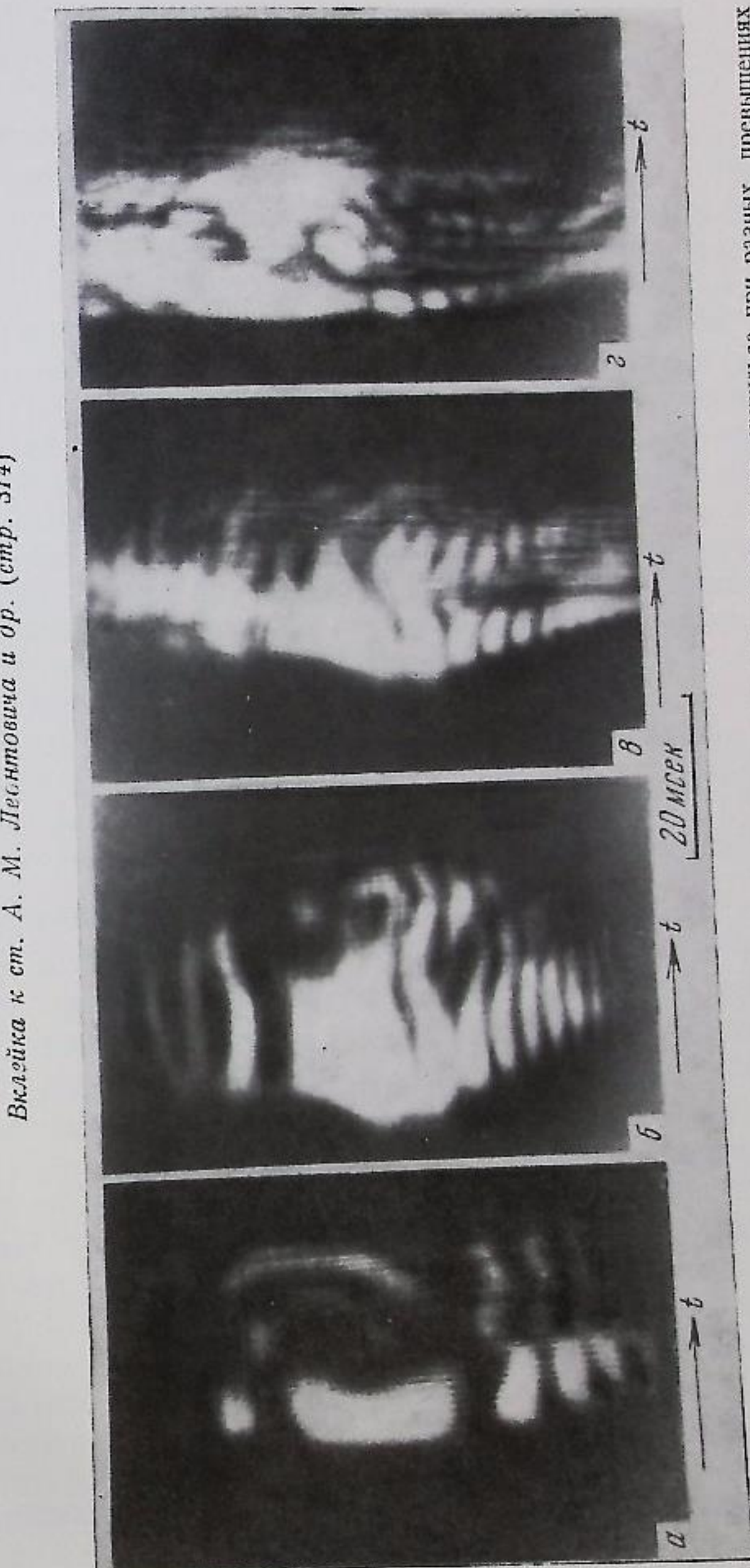
### ФОРМА ВОЛНОВОГО ФРОНТА И ПРОСТРАНСТВЕННАЯ КОГЕРЕНТНОСТЬ ИЗЛУЧЕНИЯ В ГИГАНТСКОМ ИМПУЛЬСЕ РУБИНОВОГО ОКГ

А.М.Леонович, М.Н.Попова, М.Я.Щелев

Форма волнового фронта и пространственная когерентность экспериментально хорошо изучены для ОКГ в свободном режиме [1-3], но для ОКГ в режиме гигантского импульса подобных исследований не проводилось.

В настоящей работе изучалась пространственная когерентность и форма волнового фронта излучения гигантского импульса рубинового ОКГ с затвором на ячейке Поккельса. Затвор состоял из кристалла КДП и поляризатора — стопы стеклянных пластинок, помещавшихся между плоским зеркалом с коэффициентом отражения 98% и кристаллом рубина длиной 120 и диаметром 11,6 мм. Второе зеркало, находившееся на расстоянии 70 см от первого, имело коэффициент отражения 30%. Энергия гигантского импульса составляла 0,1-1 дж, полная длительность 30±50 нсек.

Как известно (см. [4]), пространственная когерентность двух точек волнового поля определяется по контрастности интерференционных полос, получаемых при дифракции Фраунгофера на диафрагме из двух отверстий (схема Юнга). Интегральные снимки, полученные с помощью



Вкладка к ст. А. М. Леоновича и др. (стр. 314)

Рис. 2 Временные развертки интегрограмм волнового фронта гигантского импульса при разных превышениях излучения над порогом, полученные при различных соотношениях накачки  $E_{\text{нак}}/E_{\text{пор}}$ : а —  $E_{\text{нак}}/E_{\text{пор}} = 1,1$ ; б —  $E_{\text{нак}}/E_{\text{пор}} = 1,3$ ; в —  $E_{\text{нак}}/E_{\text{пор}} = 1,8$ . Модуляция интенсивности во времени, вызванная бистрием, видна на снимках, называемых аксиальными пилексами